

# ナノ光学と近接場光学顕微鏡の基礎

慶應義塾大学 理工学部 電子工学科  
神奈川科学技術アカデミー

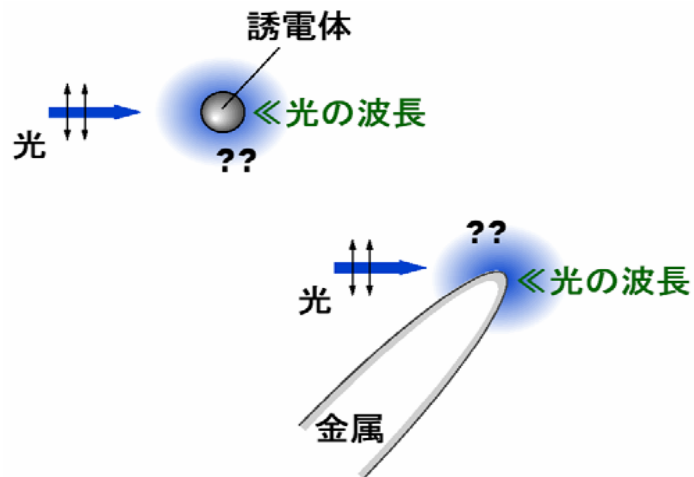
齋木 敏治

## ナノ光学へのイントロダクション

### アウトライン

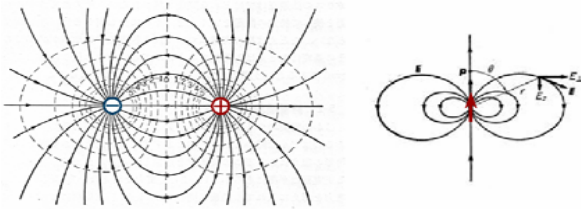
- ナノ光学へのイントロダクション
- 近接場光学顕微鏡の原理・歴史・基本性能
- 微小開口の光学
- 量子ドットに閉じ込められた電子の波動関数を見る  
- ナノスケールに閉じ込められた光と電子の相互作用 -

### 近接場光とは・・・



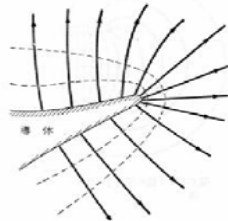
## 近接場光の正体

### ■ 電気双極子

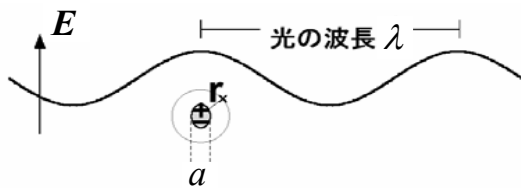


### ■ 尖った導体

- 避雷針
- 電界放出顕微鏡



## Electrostatic近似



$a, r \ll \lambda$  → 空間的に一様な場が印加されているとみなしてよい.

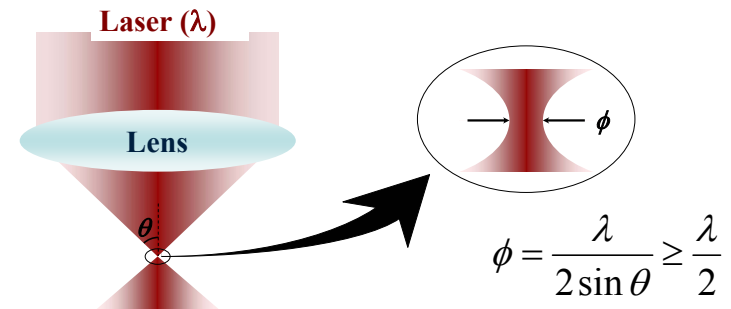
Electrostatic 近似

$$\frac{a}{\lambda}, \frac{r}{\lambda} \ll 1 \rightarrow ka, kr \ll 1$$

## ナノ光学研究の意義

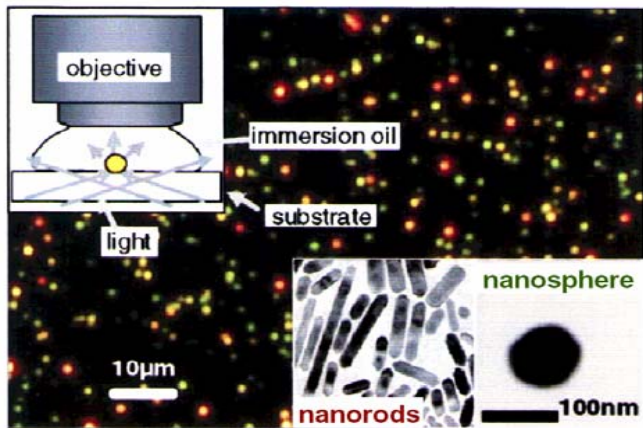
- 小さな光
- 明るい光
- 小さいが故に高感度
- ナノ領域に固有の光と電子の相互作用

## 光の回折限界



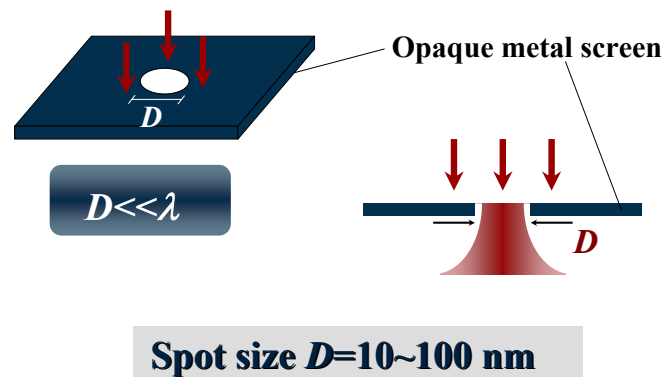
Minimum spot size ~ 0.5 μm

## プラズモン



C. Soennichsen *et al.*, PRL 88, 77402 (2002).

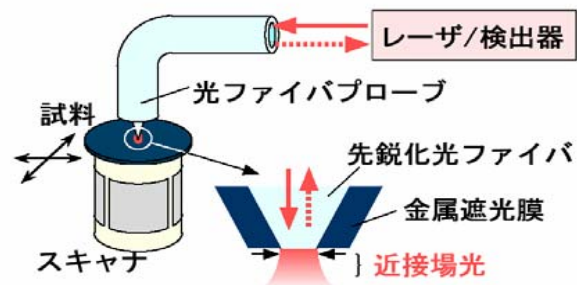
## 金属微小開口



## 近接場光学顕微鏡の原理・歴史・基本性能

## 近接場光学顕微鏡

### Near-field Scanning Optical Microscopy (NSOM)



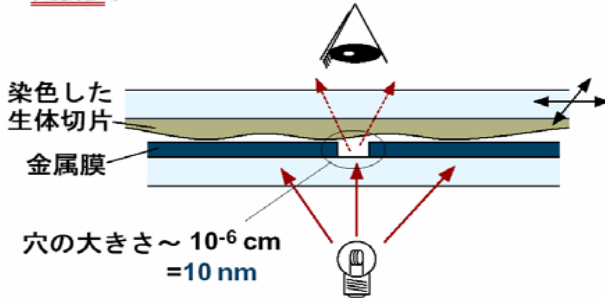
空間分解能 ~ 開口径 ( $\ll$  光の波長)  
(通常の顕微鏡の空間分解能 ~ 光の波長)

# NSOM原理の提案

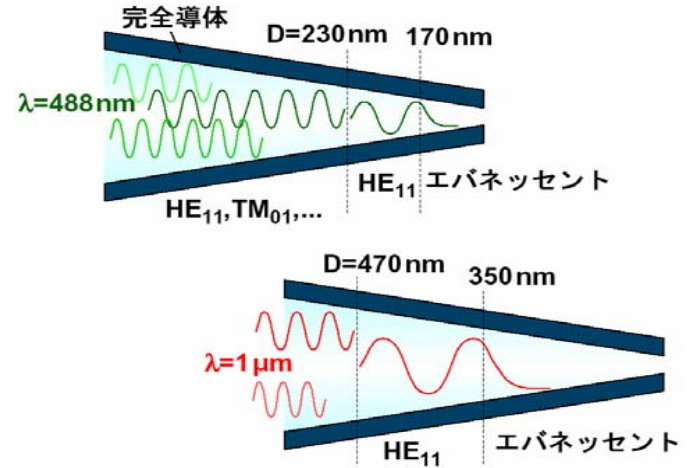
PHILOSOPHICAL MAGAZINE

JULY 1928.

XXXVIII. A Suggested Method for extending Microscopic Resolution into the Ultra-Microscopic Region. By E. H. SNYGE\*.



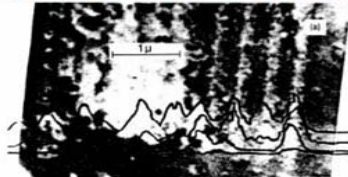
# プローブ内の導波モード



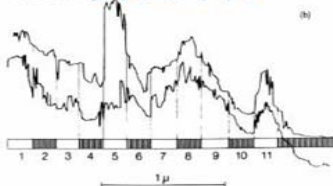
# Optical Stethoscopy

D. W. Pohl APL 44, 651 (1984)

● 試料 (クロムパターン) の電顕写真

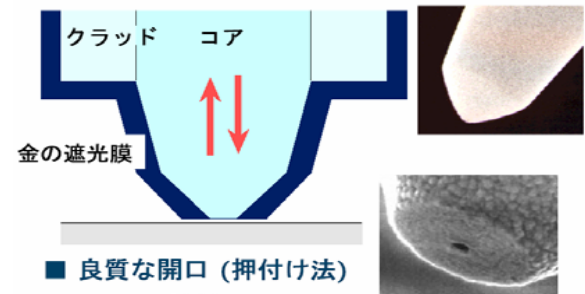


● NSOMラインスキャン



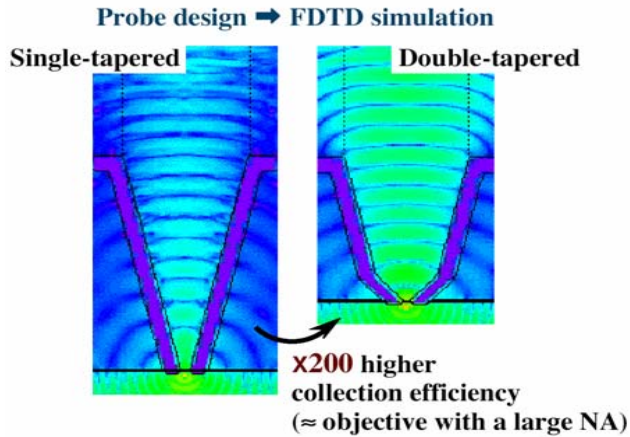
# ファイバプローブ

- テーパー構造の最適化 (化学エッチング)
  - ➔ 光の伝搬効率の向上 (高感度化)



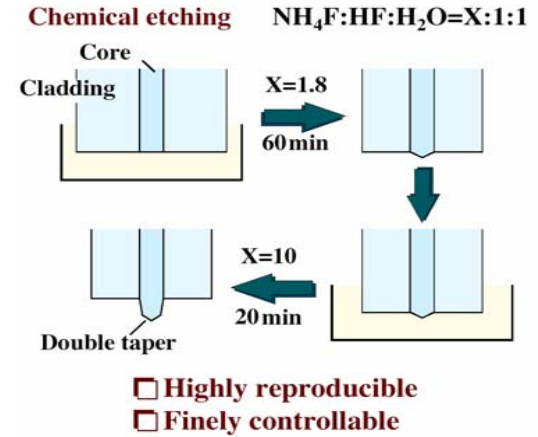
- 良質な開口 (押付け法)
  - 平坦, 試料面に平行
    - ➔ 試料との効率的な相互作用
  - 小さい, 真円状
    - ➔ 高分解能, 良好な偏光特性

## 二段テーパプローブ



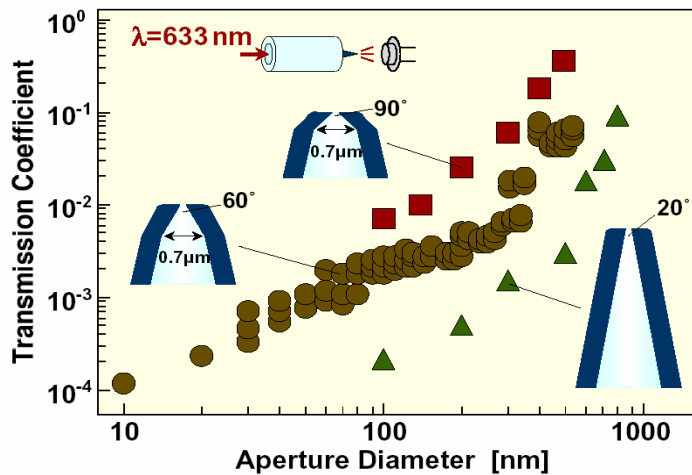
H. Nakamura, *J. Microscopy* **202**, 50 (2001).

## 二段テーパプローブの作製 -1-

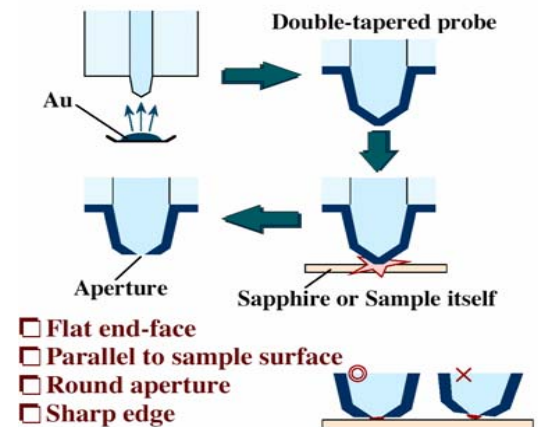


T. Saiki, *APL* **68**, 2612 (1996).

## プローブの光透過効率

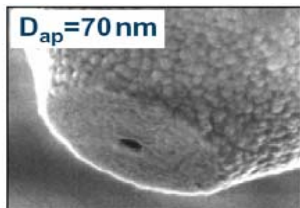


## 二段テーパプローブの作製 -2-

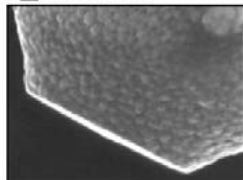


T. Saiki, *APL* **74**, 2773 (1999).

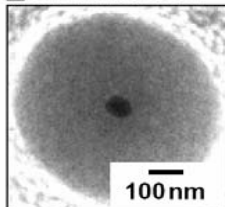
## 押し付け法によって作製した微小開口



□ Side view

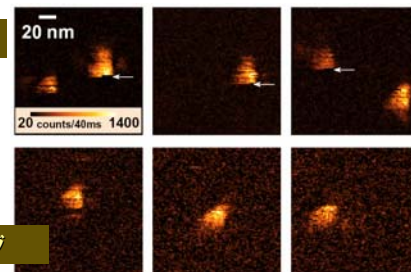


□ Overhead view



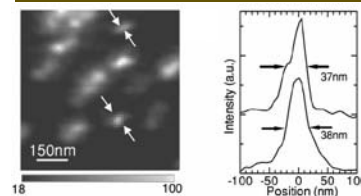
## 30nm 空間分解能

単一分子イメージング



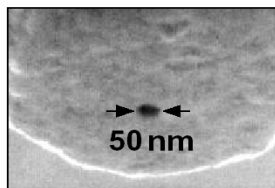
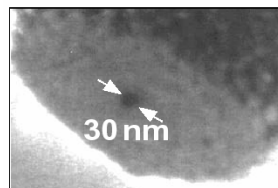
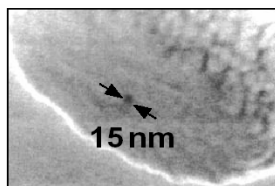
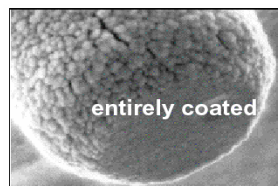
*JSAP Int.* 5, 22 (2002)

単一量子ドットイメージング



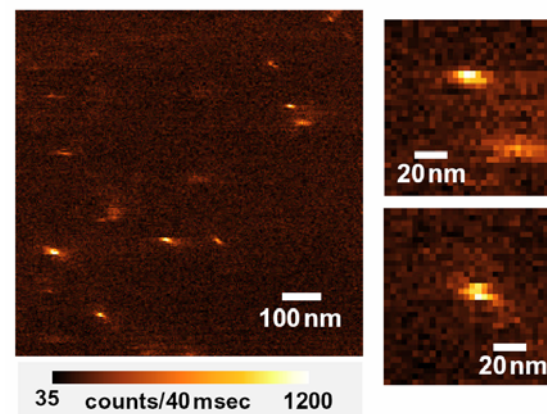
*APL* 81, 2291 (2002)

## さまざまなサイズの微小開口



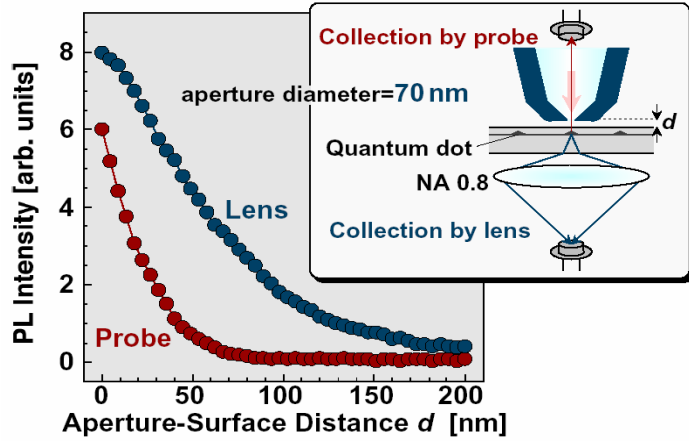
The scanning electron micrographs were taken after conducting NSOM imaging measurements.

## 10nm 空間分解能



*J. Microscopy* 202, 362 (2000).

# プローブの集光効率



# 全反射とエバネッセント光

$$k_0 = 2\pi/\lambda$$

$$nk_0 \sin \theta_i = k_0 \sin \theta_o$$

$$\sin \theta_o / \sin \theta_i = n \text{ (スネルの法則)}$$

$$k_z^2 = k_0^2 - (k_0 \sin \theta_o)^2$$

$$k_0^2 - (nk_0 \sin \theta_i)^2$$

$$k_z = k_0 [1 - (n \sin \theta_i)^2]^{1/2}$$

$$nk_0 \sin \theta_c = k_0$$

$$\sin \theta_c = 1/n \text{ (臨界角)}$$

$$k_z = 0$$

エバネッセント光

$$k_z^2 = k_0^2 - (nk_0 \sin \theta_i)^2 < 0$$

$$k_z = ik_0 [(n \sin \theta_i)^2 - 1]^{1/2}$$

全反射

$1/|k_z|$

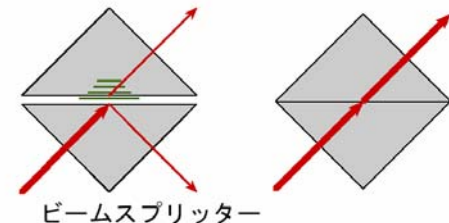
# 微小開口の光学

# 光トンネリング

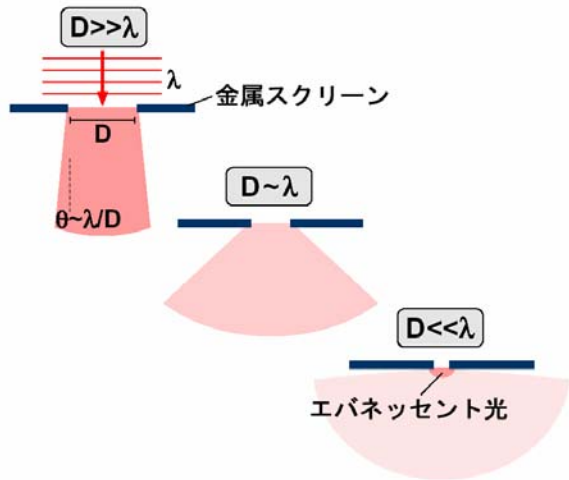
$$1/|k_z| = 1/k_0 [(n \sin \theta_i)^2 - 1]^{1/2}$$

$$\sim \lambda/2$$

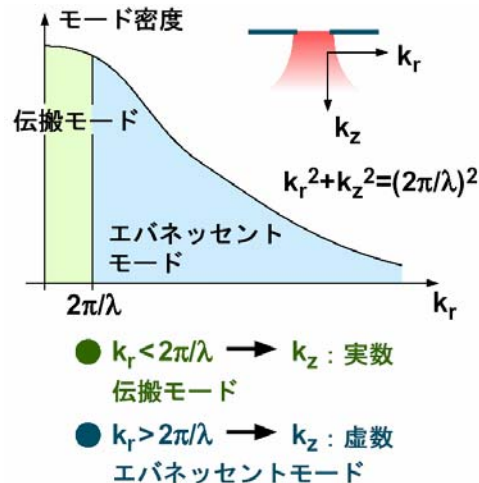
$(k_0 = 2\pi/\lambda, n = 1.5, \theta_i = 45^\circ)$



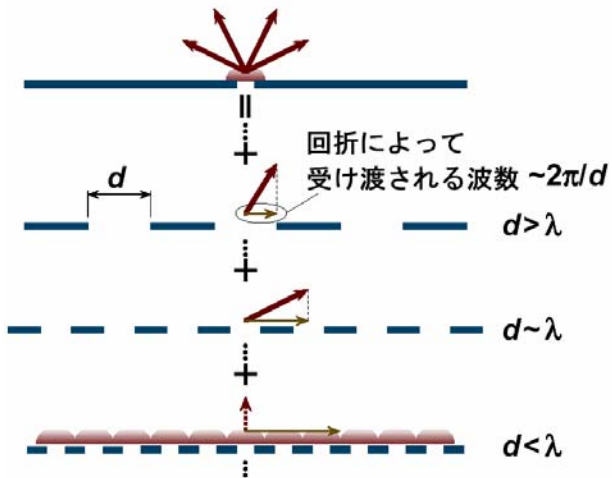
## 円孔による光の回折



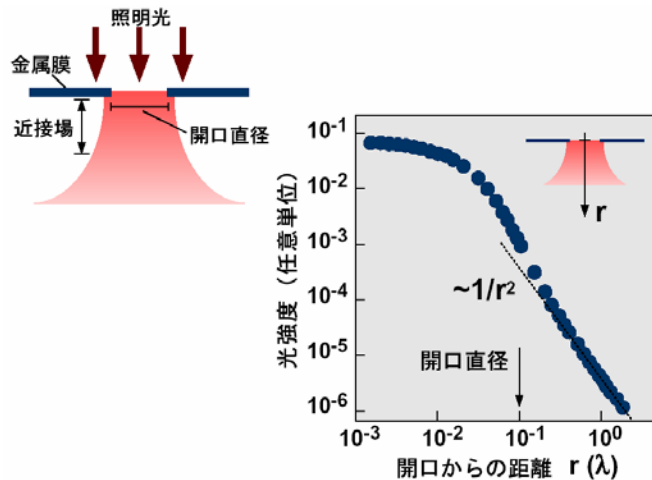
## 開口近傍における回折光のモード分布



## スリットによる光の回折

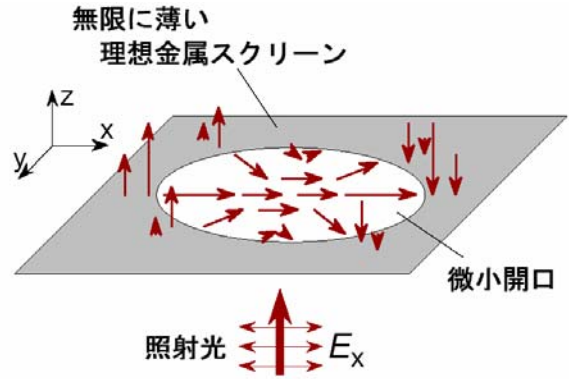


## 光強度の開口面からの距離依存性





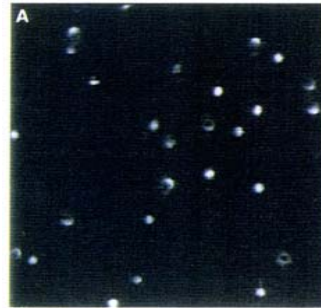
## 開口面内の電場ベクトル分布



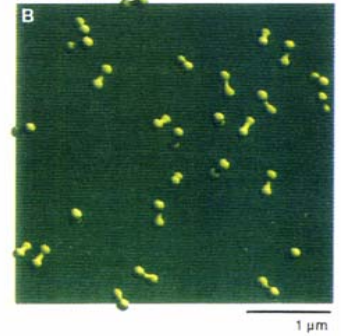
照明光の偏光に依存して、  
開口エッジ近傍に強い電場が発生

## 近接場蛍光イメージングによる分子の向き決定

Fluorescence NSOM

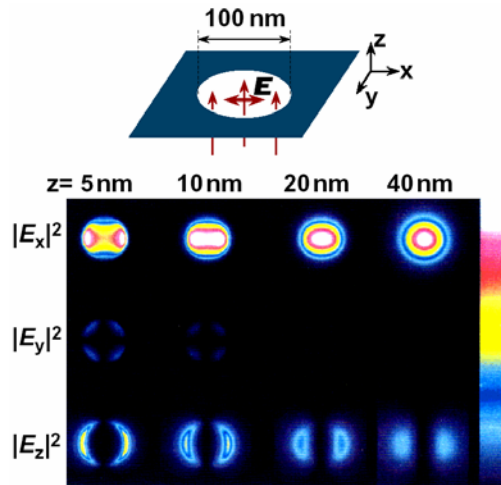


Dipole Orientation



E. Betzig et al., Science 262, 1422 (1993).

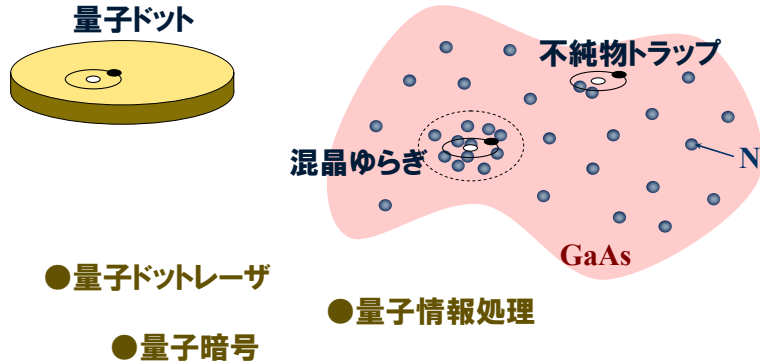
## 開口近傍の電場強度分布



量子ドットに閉じ込められた電子の波動関数を見る

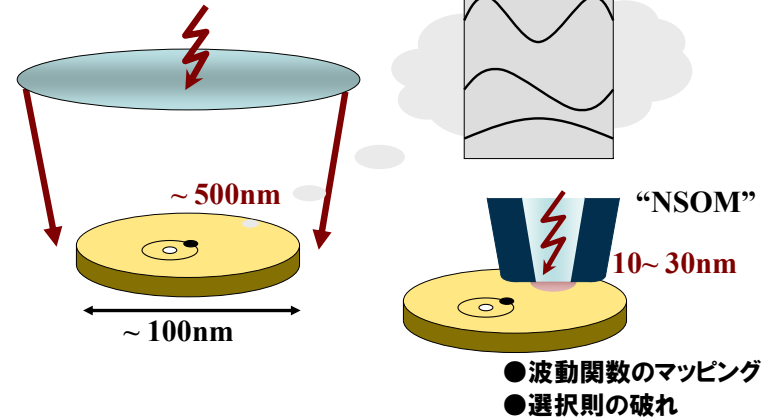
# 局在電子系

## 量子閉じ込め状態



# Optical mapping of electron wavefunction

## “Far-field microscopy”



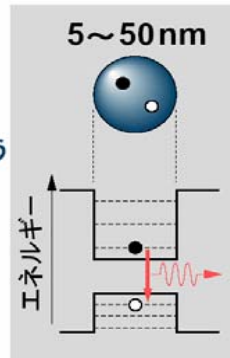
# 半導体量子ドット

電子がもつ波動の性質が顕著になり、完全に離散的なエネルギー準位構造を形成する。

人工的な原子のように振る舞う

その結果・・・

- 電子のエネルギー分布の集中
- 光学スペクトルの先鋭化
- 電子間の相互作用の増強



# Optical mapping of wavefunction

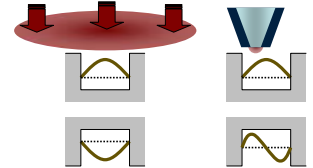
$$\text{Wavefunctions: } |\Psi^e(r)\rangle = \phi^e(r)|e\rangle, \quad |\Psi^h(r)\rangle = \phi^h(r)|h\rangle$$

$$\text{Dipole interaction Hamiltonian: } H' = \mathbf{p} \cdot \mathbf{A} = (c/i\omega)\mathbf{p} \cdot \mathbf{E}$$

$$\text{Dipole matrix element: } \langle \Psi^e(r) | H' | \Psi^h(r) \rangle \propto \langle e | \mathbf{p} | h \rangle \cdot \int \phi^e(r) \mathbf{E} \phi^h(r) dV$$

- Far-field excitation:  $\mathbf{E} \sim \text{const.}$  ( $\lambda \gg \text{size of quantum dot}$ )

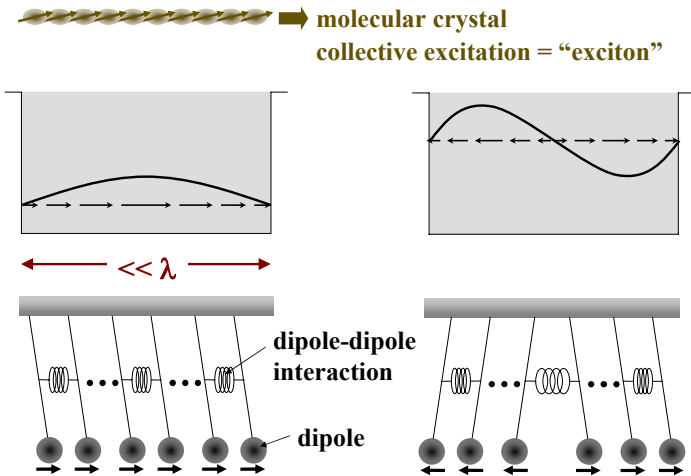
$$\int \phi^e(r) \mathbf{E} \phi^h(r) dV \rightarrow \mathbf{E} \int \phi^e(r) \phi^h(r) dV \quad \text{Selection rule}$$



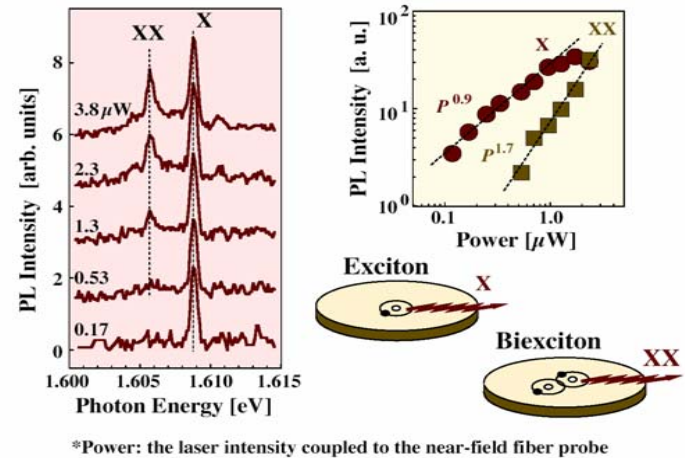
- NSOM excitation:  $\mathbf{E} \sim E_0 \delta(\mathbf{r} - \mathbf{r}_0)$

$$\int \phi^e(r) \mathbf{E} \phi^h(r) dV \rightarrow E_0 \phi^e(r_0) \phi^h(r_0) \quad \text{Wavefunction mapping}$$

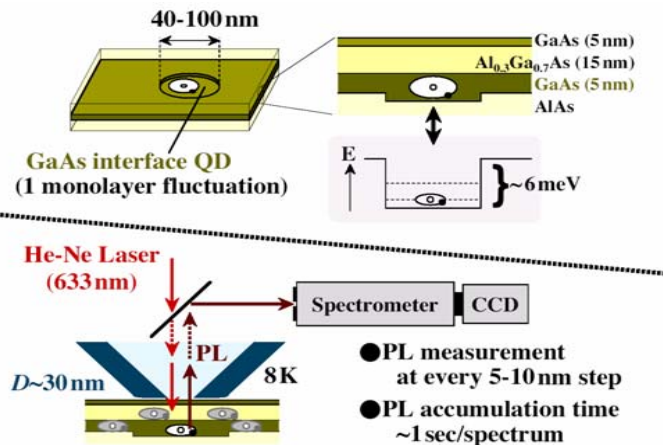
## Coupled Oscillator Model



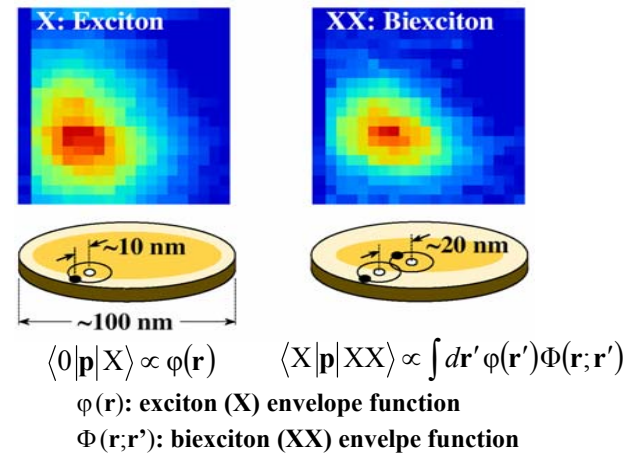
## PL spectra from single quantum island



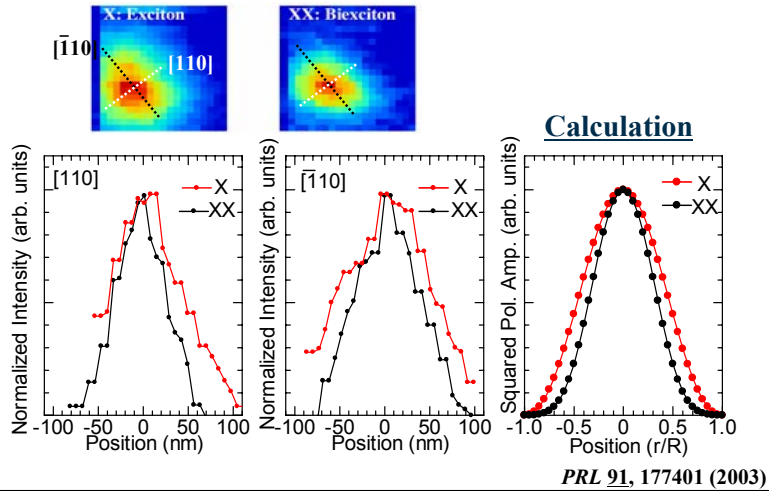
## Imaging spectroscopy of quantum island



## Exciton & biexciton Wavefunctions



## Numerical calculation of polarization field



## Wavefunction of excited state

